



1/19  
KAMIJOH ET AL.  
JP9-1999-0240

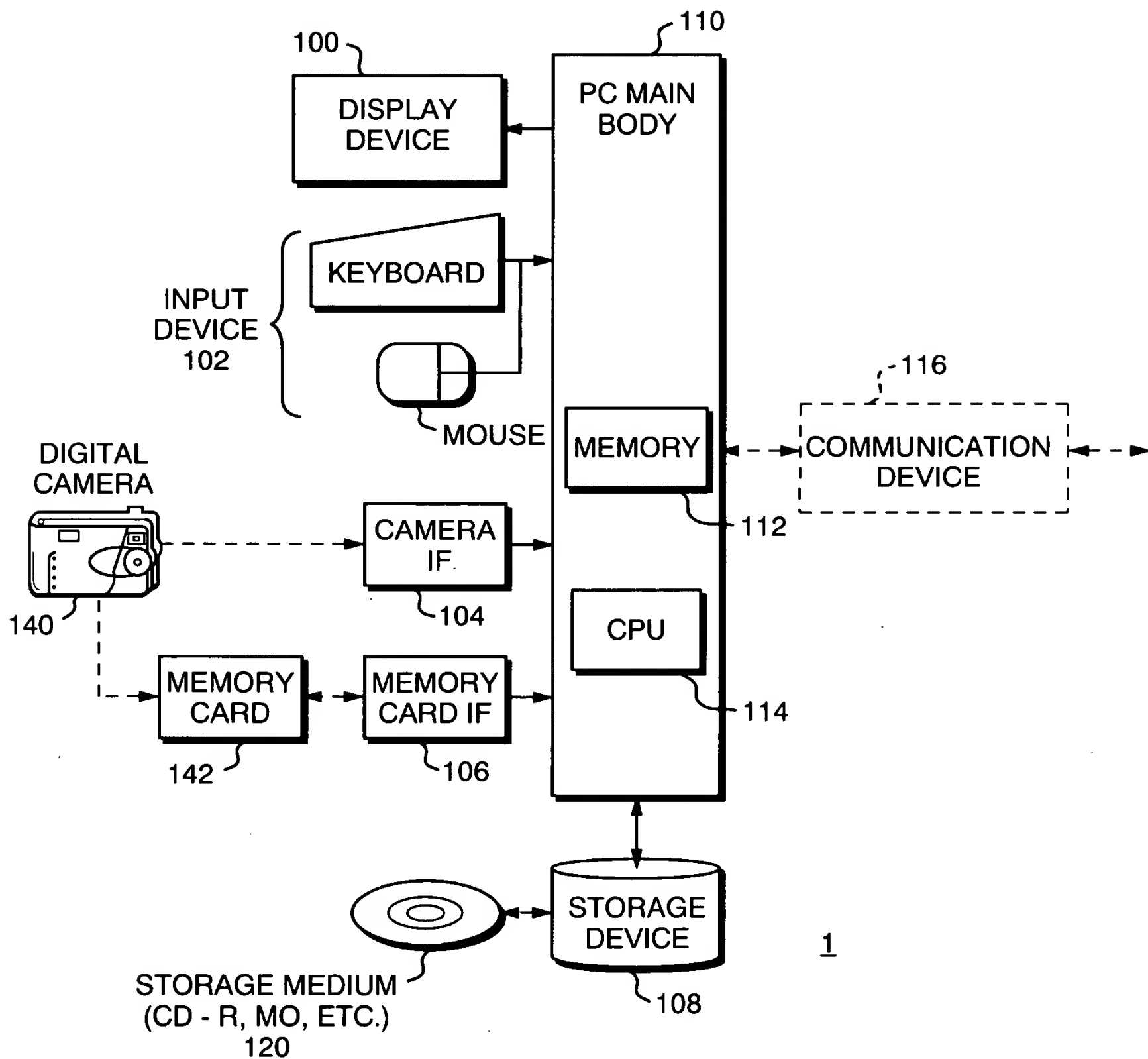
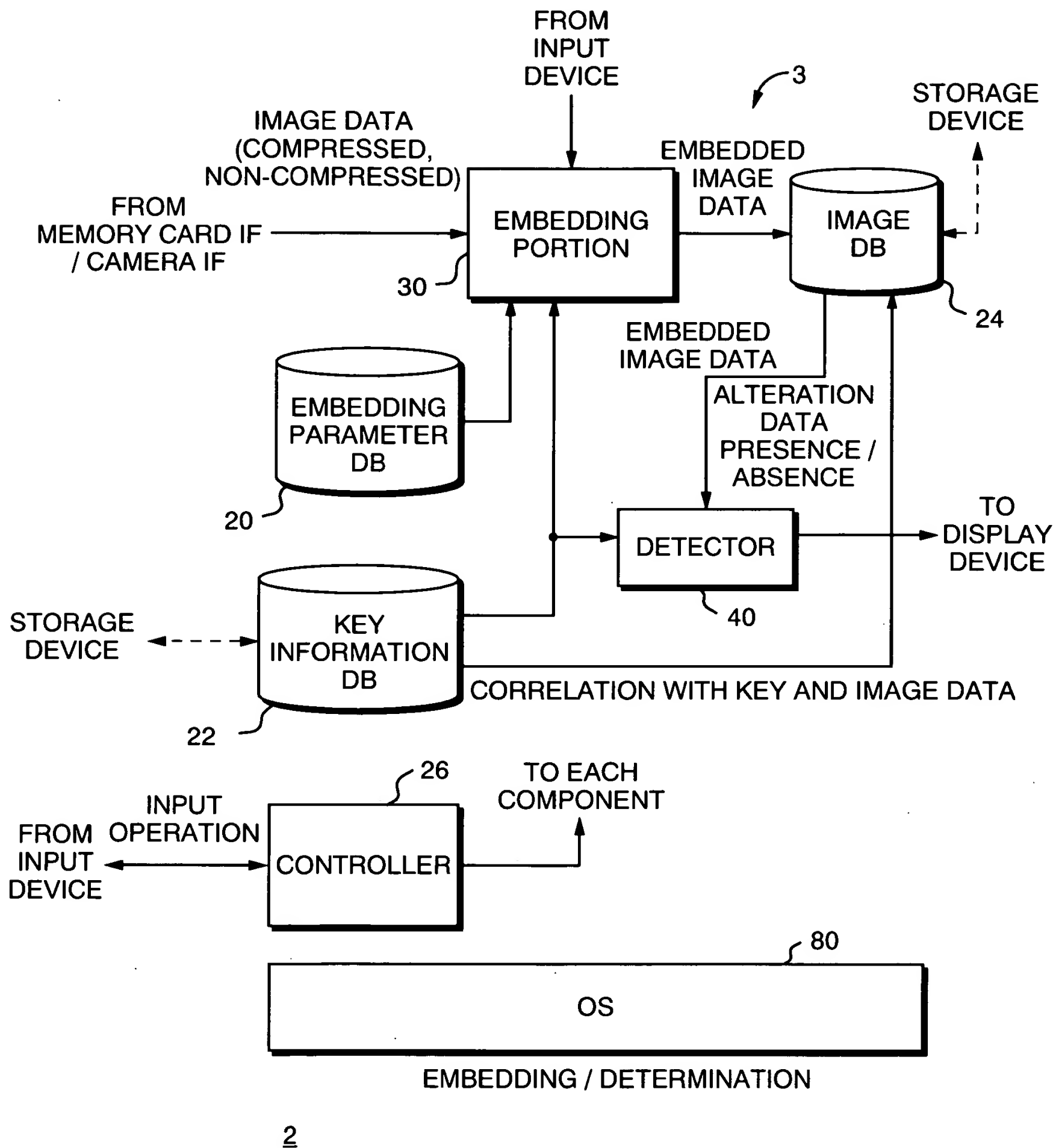
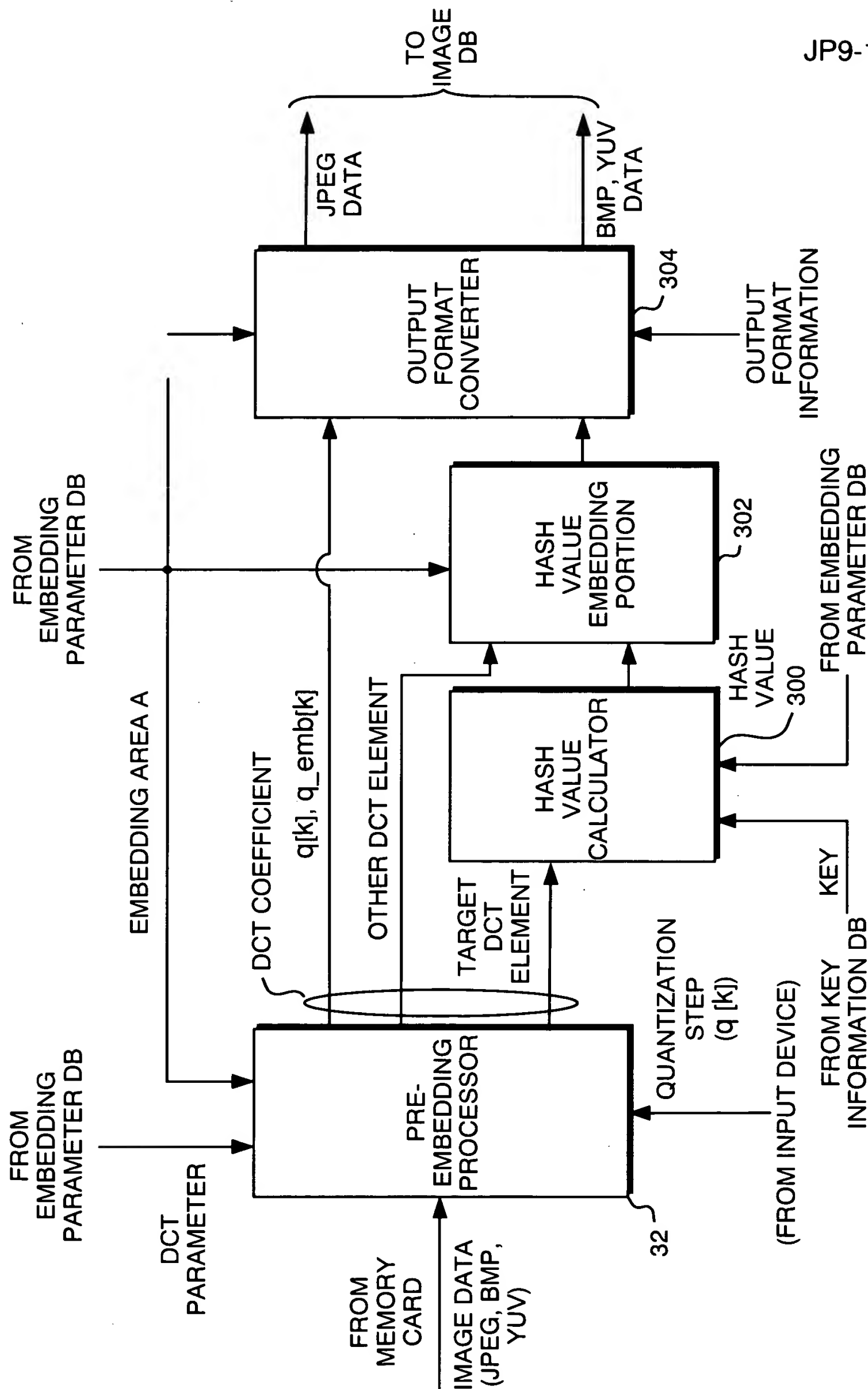


FIG. 1

2/19  
JP9-1999-0240





30

FIG. 3

4/19  
JP9-1999-0240

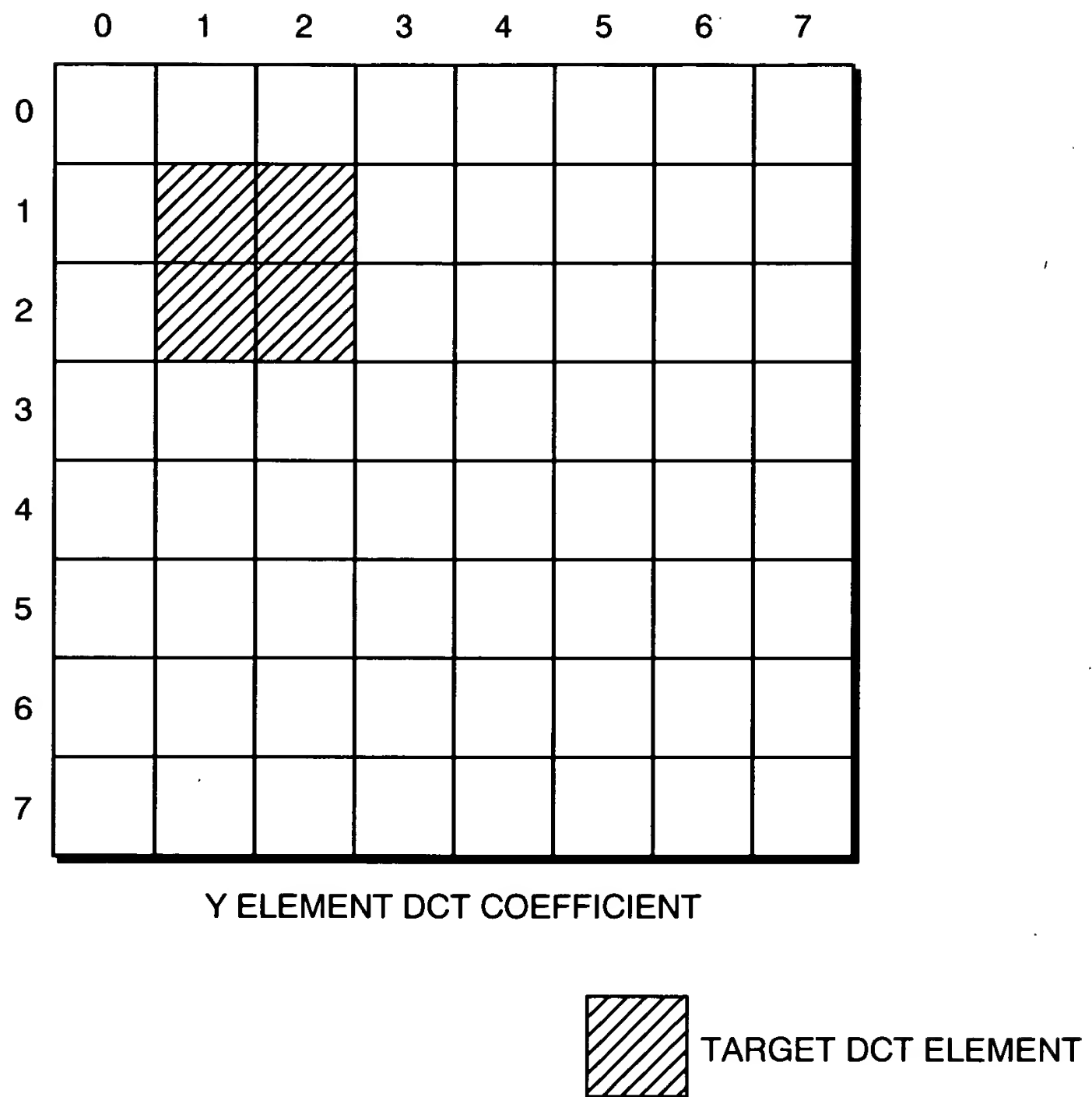
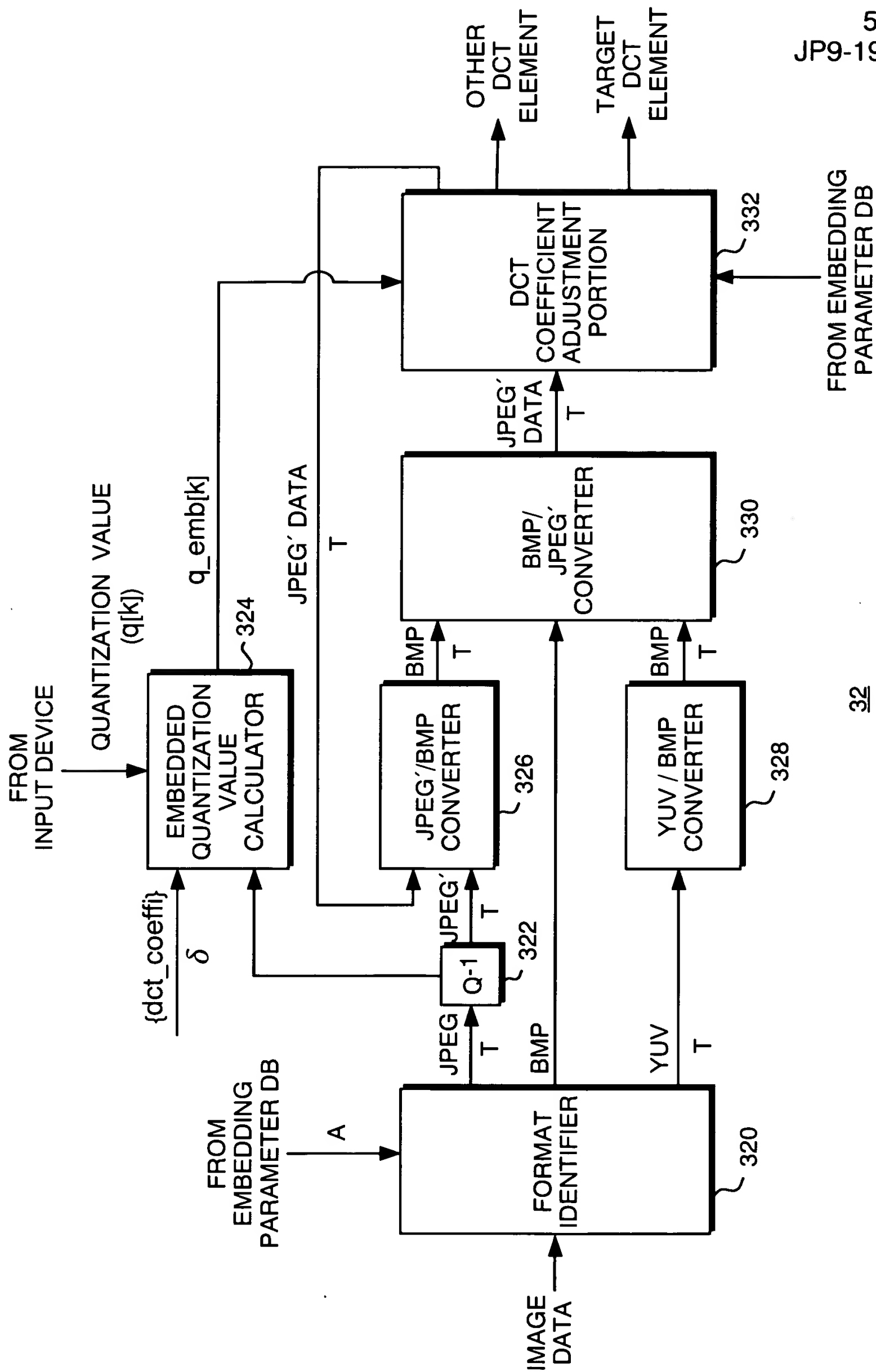


FIG. 4



6/19  
JP9-1999-0240

FIG. 6A

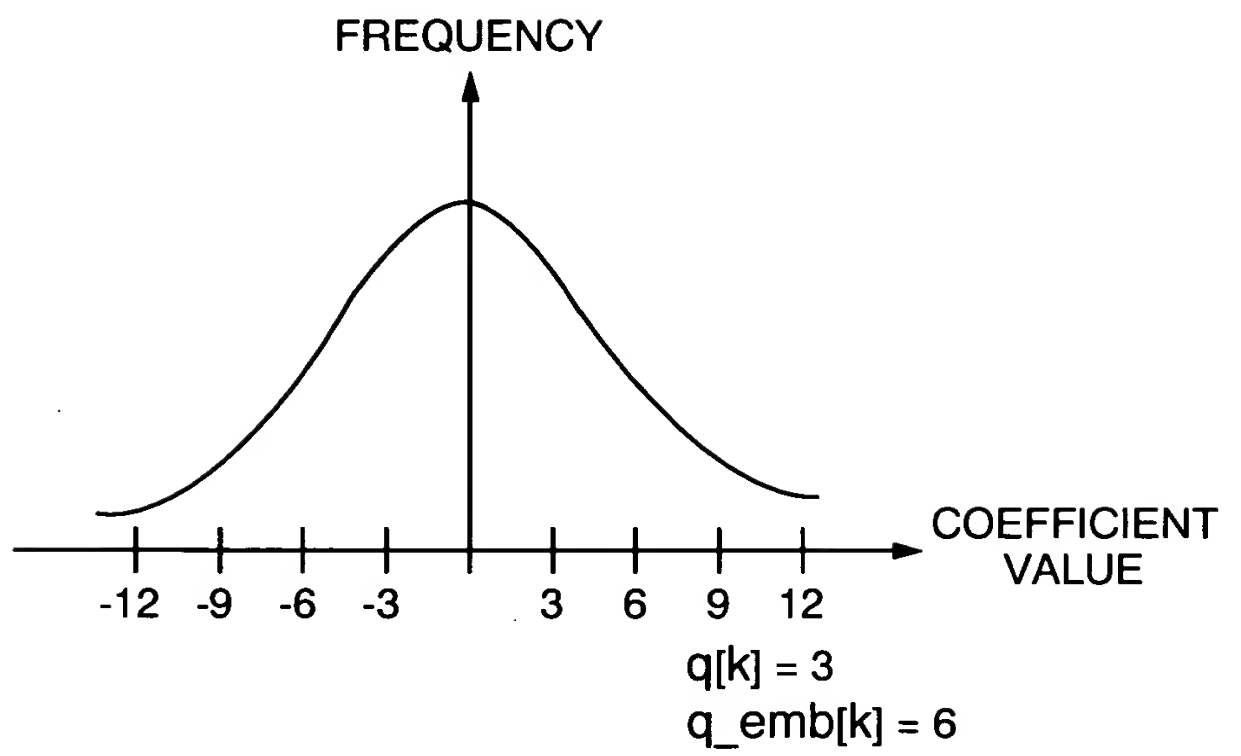
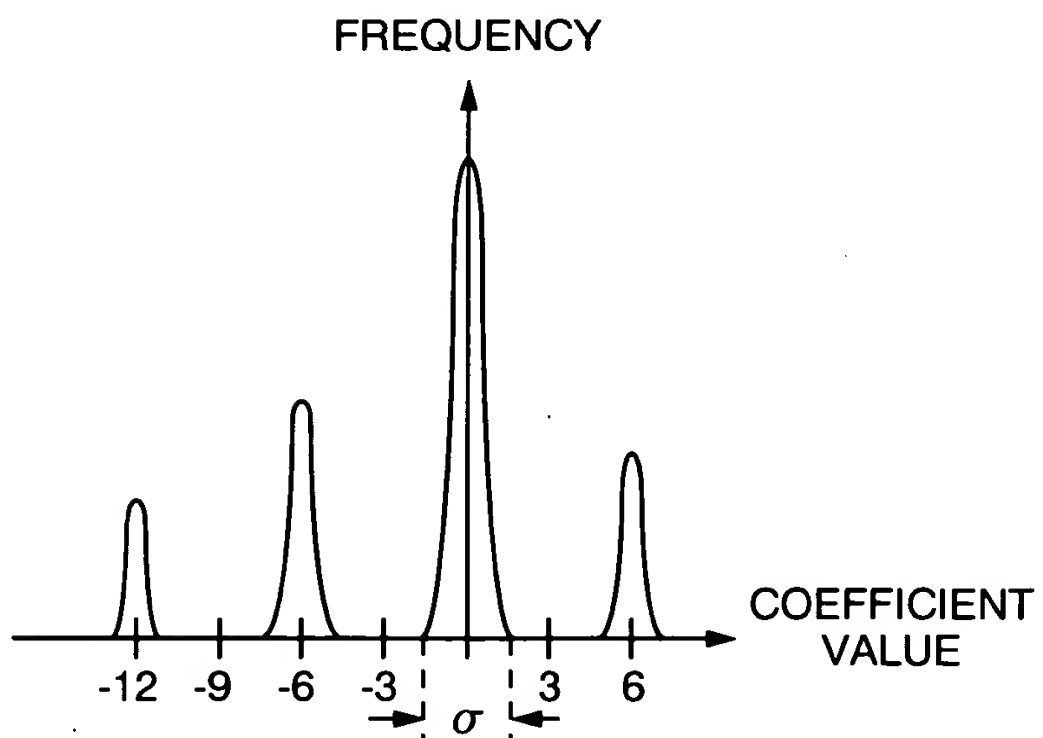


FIG. 6B



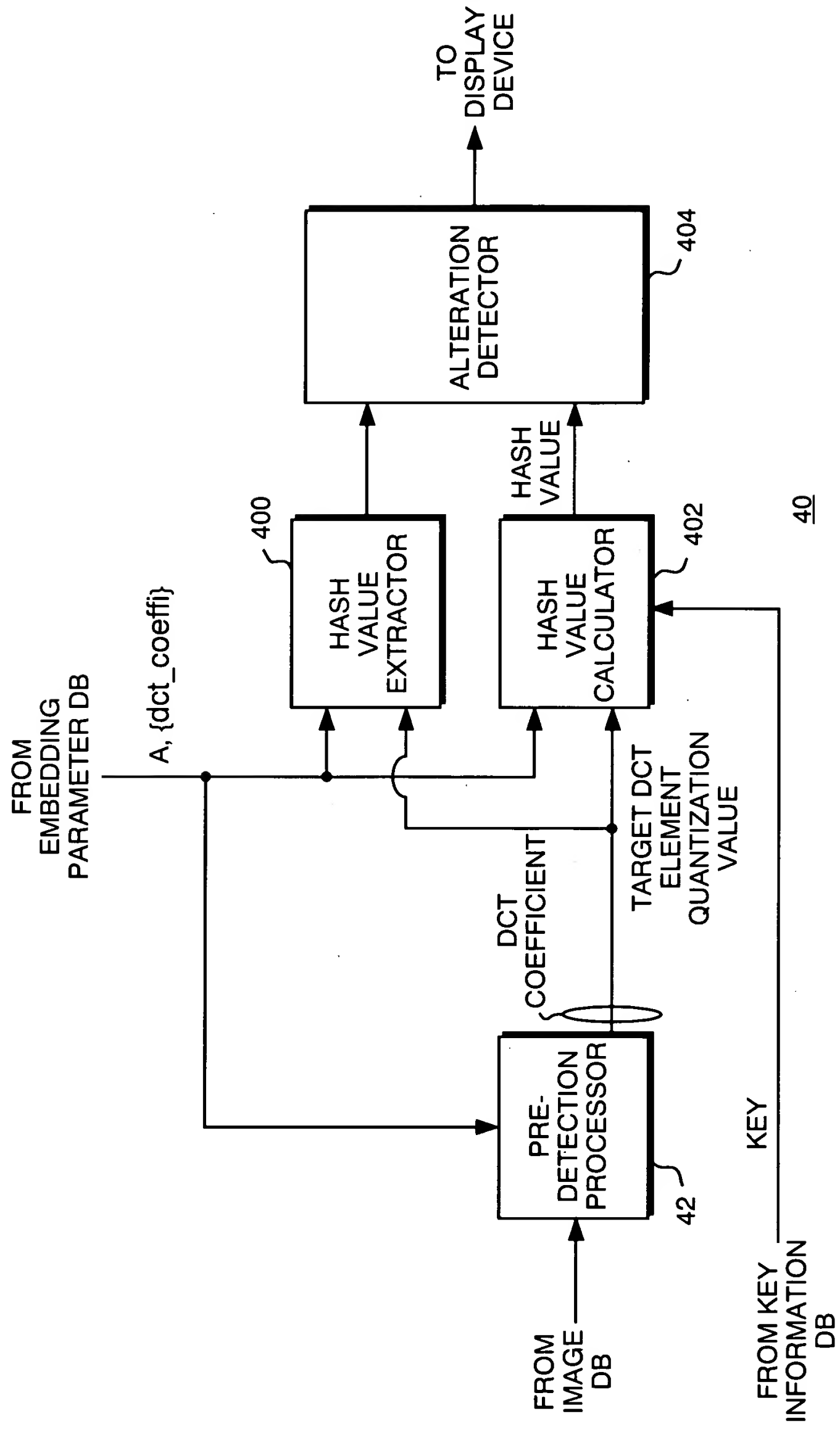


FIG. 7

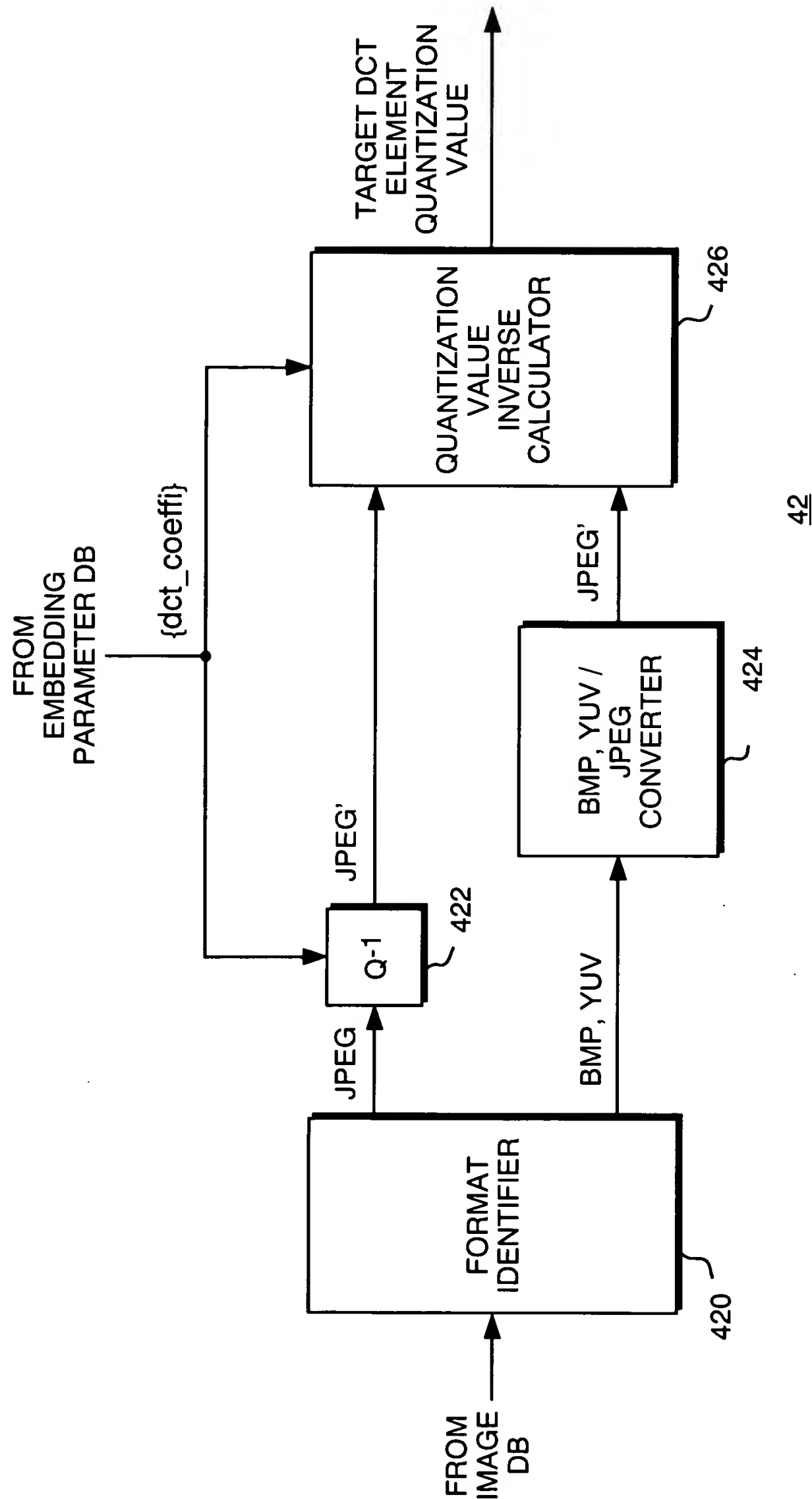
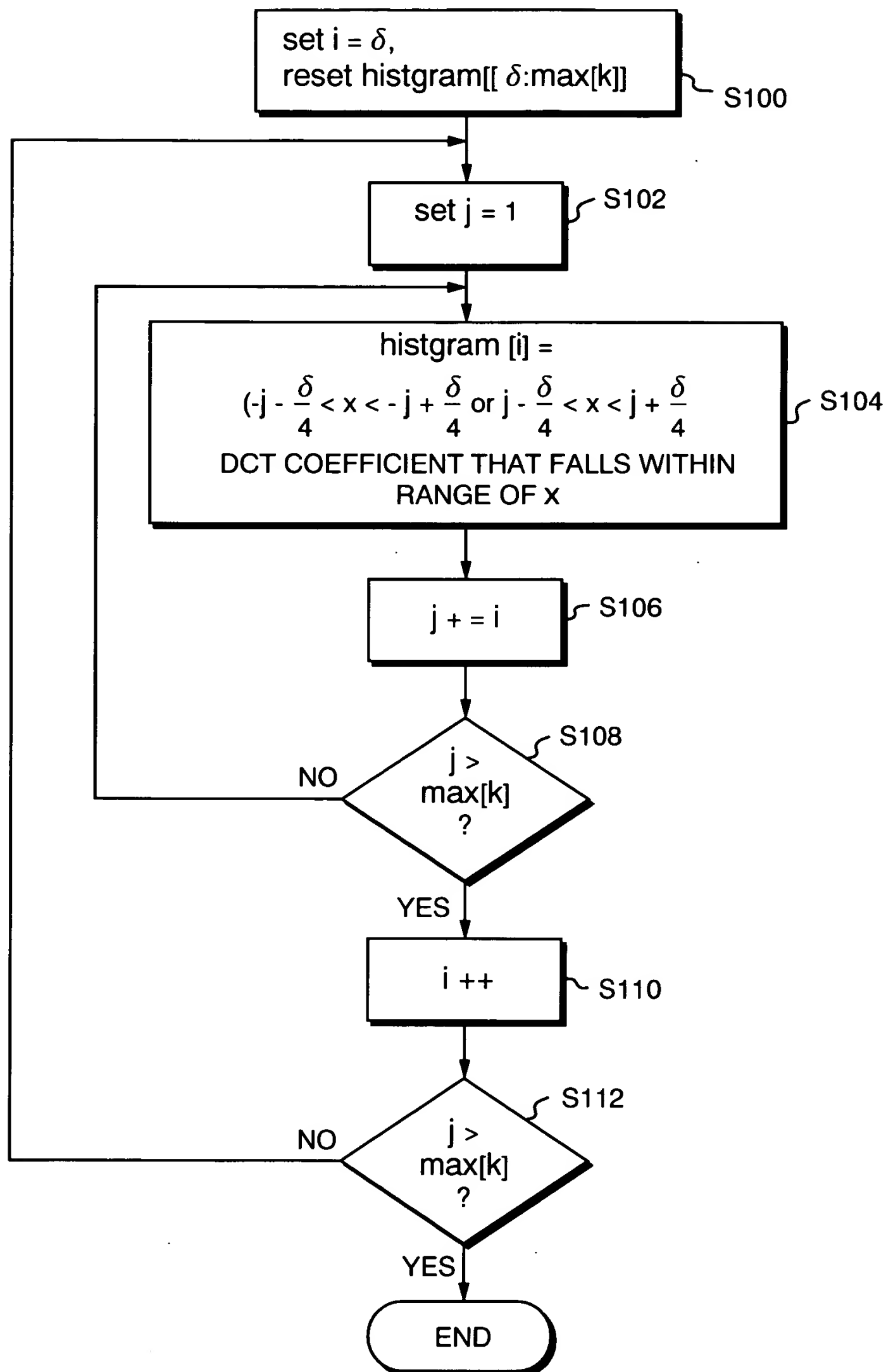


FIG. 8



9/19  
JP9-1999-0240



S10

FIG. 9

10/19  
JP9-1999-0240

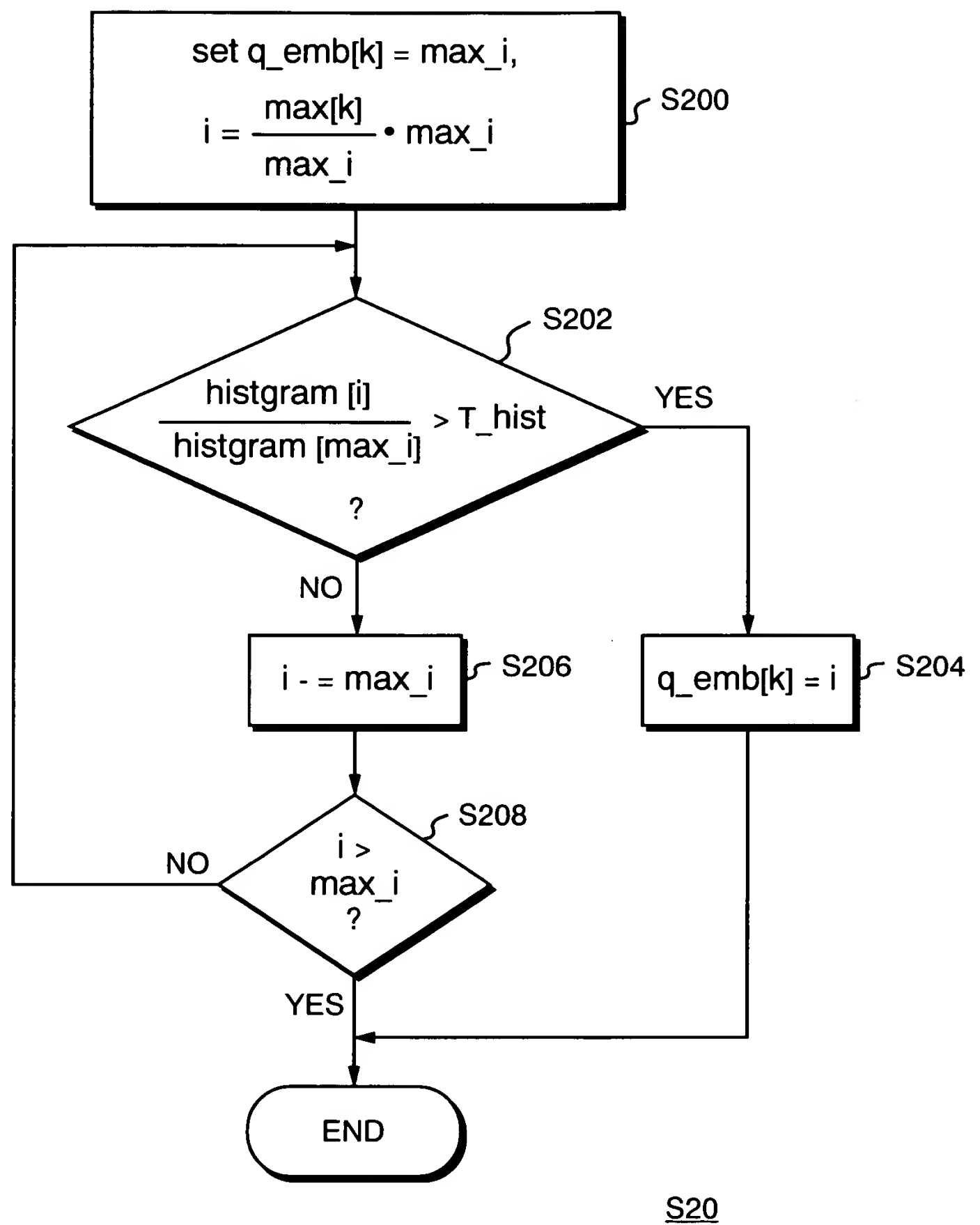


FIG. 10

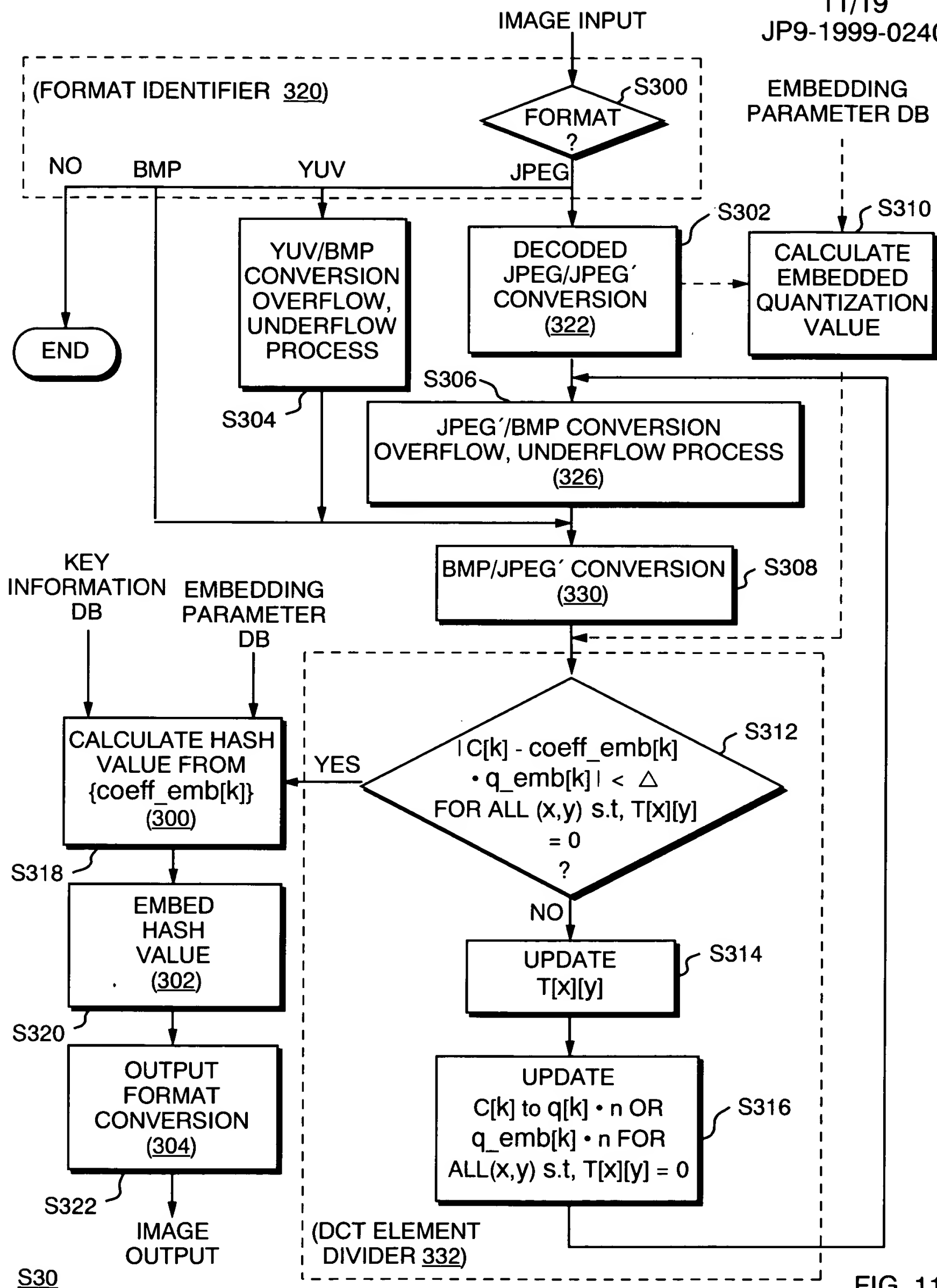
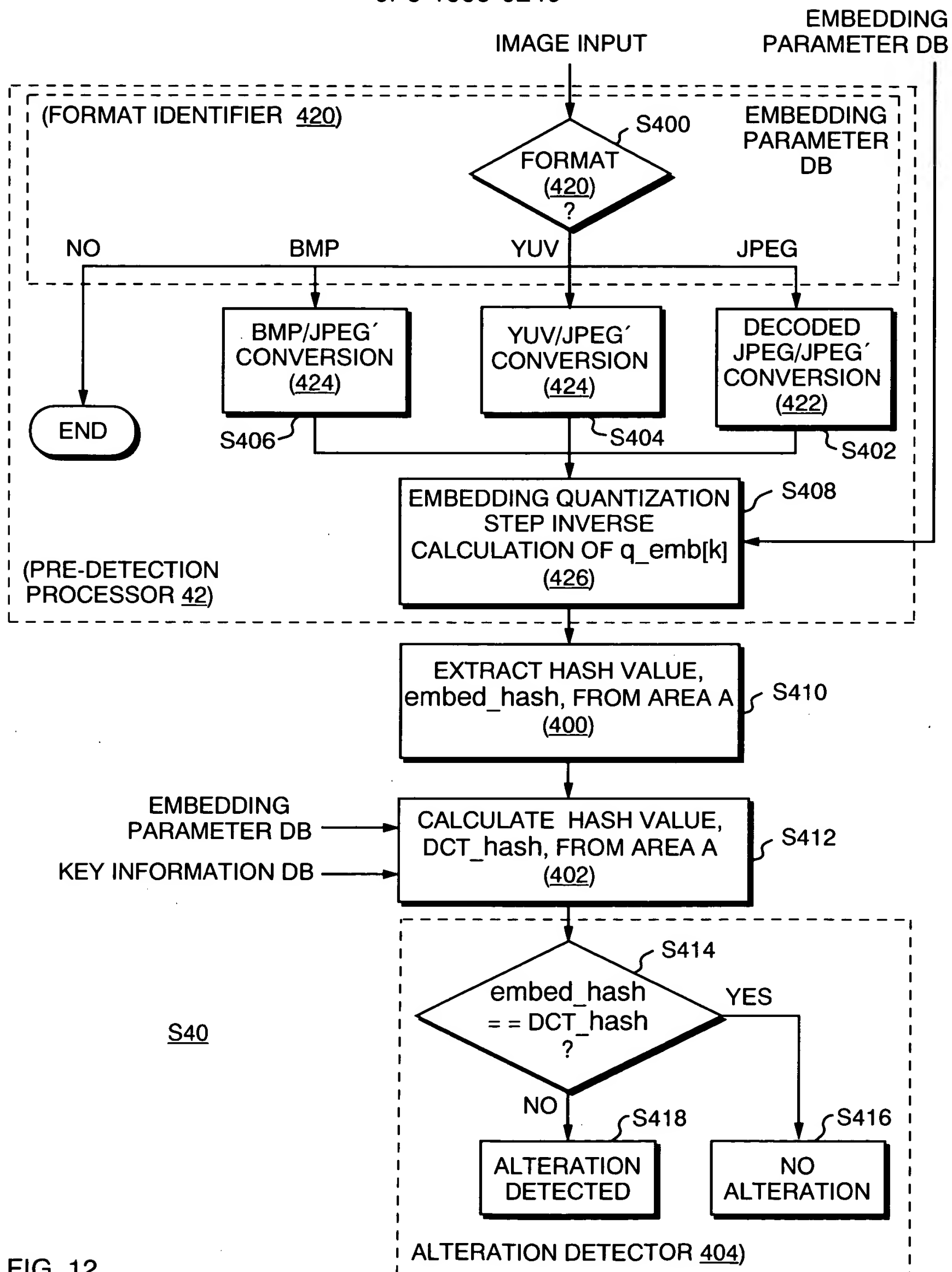
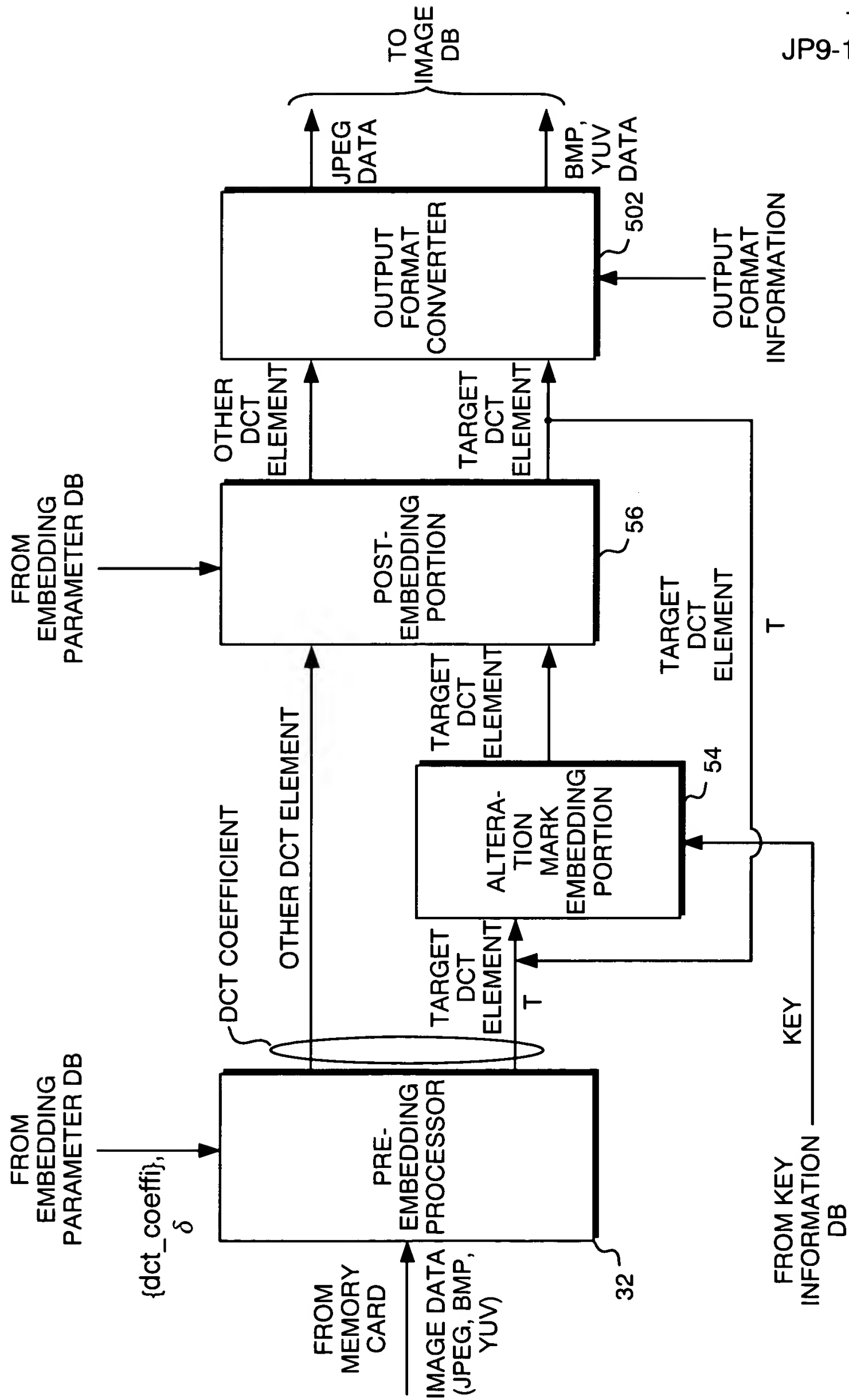


FIG. 11

12/19  
JP9-1999-0240





50

FIG. 13

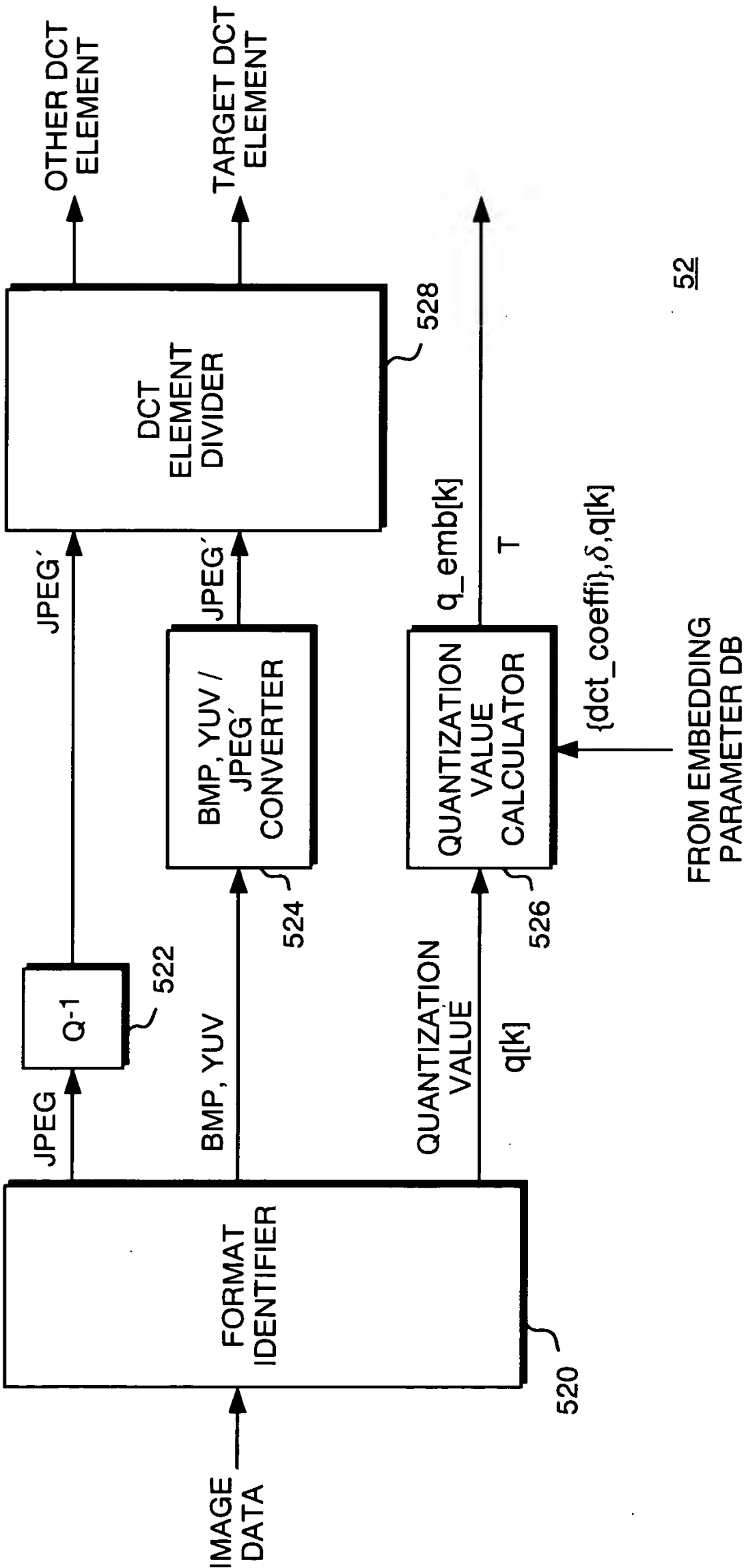


FIG. 14

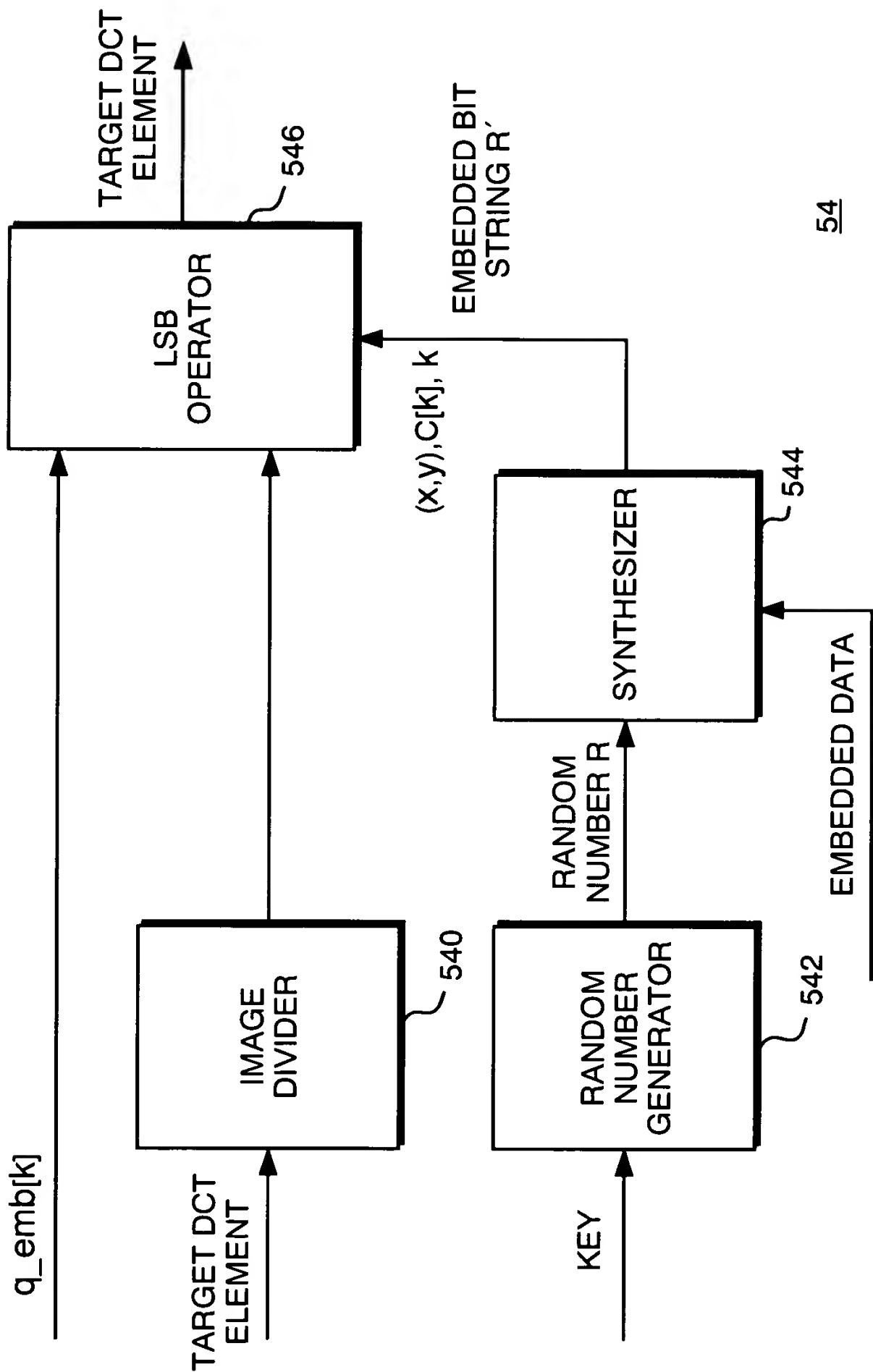


FIG. 15

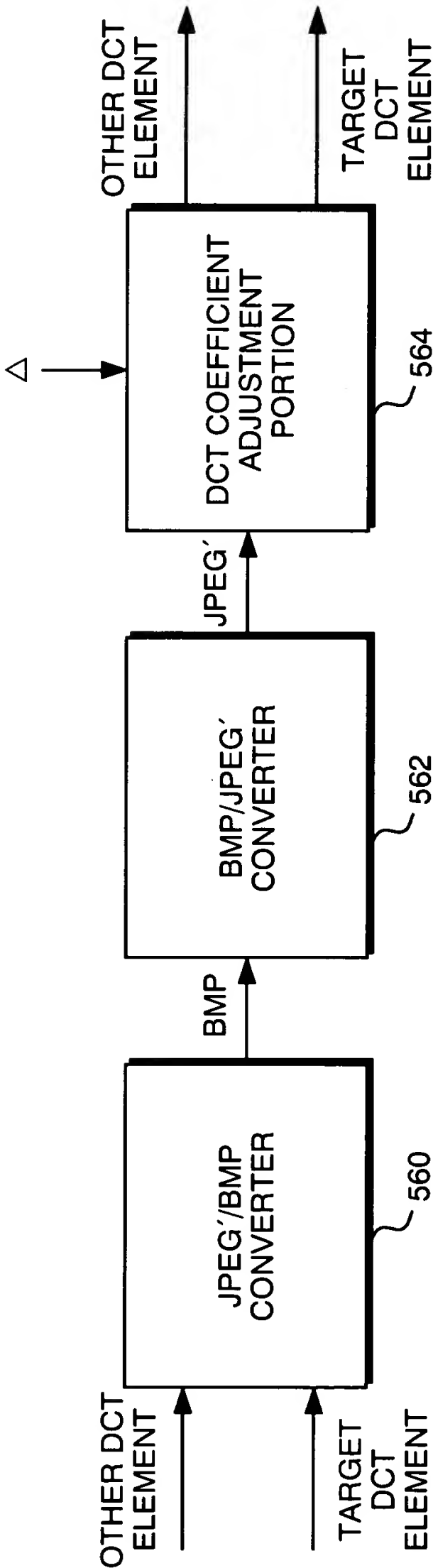


FIG. 16



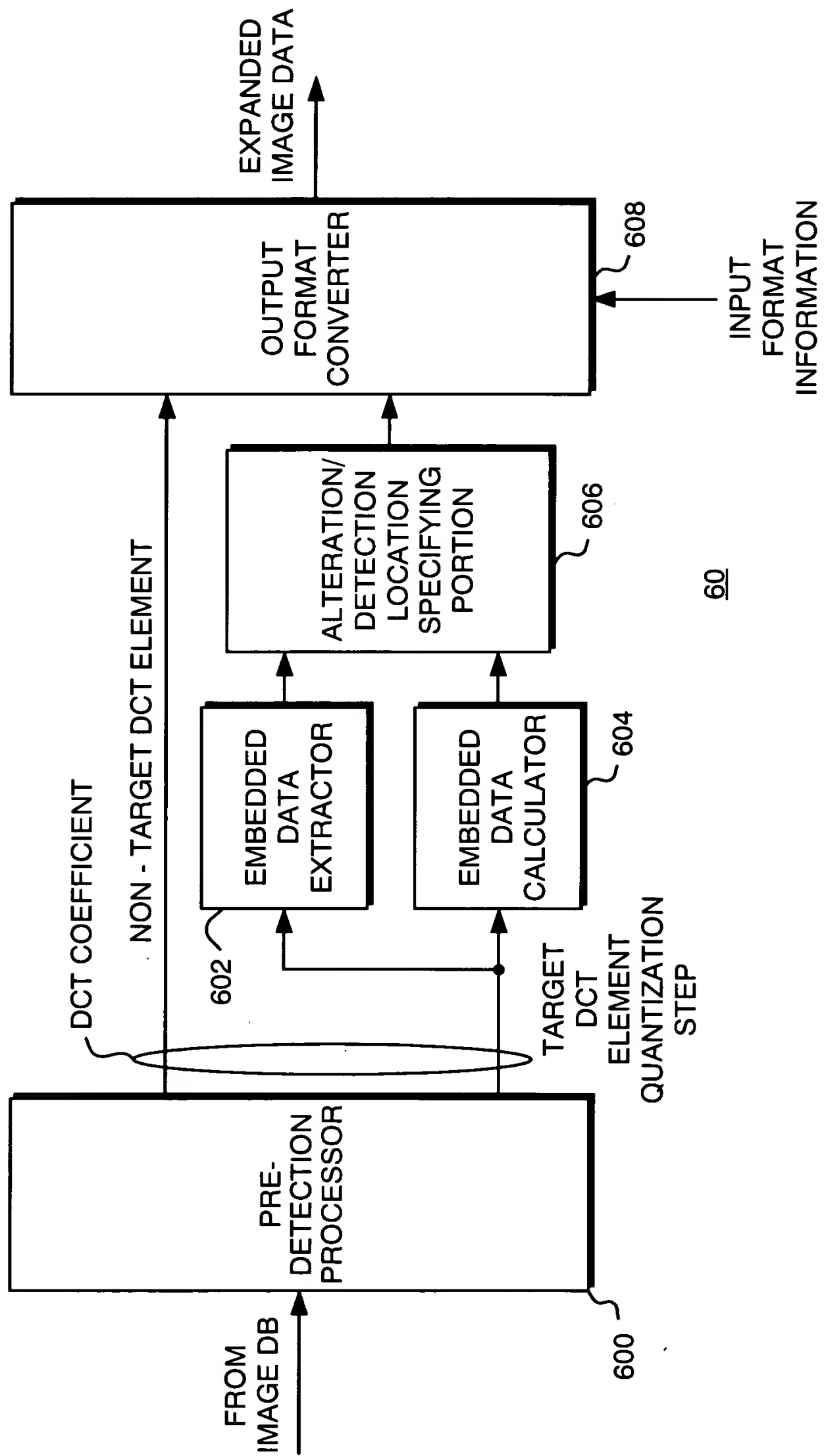
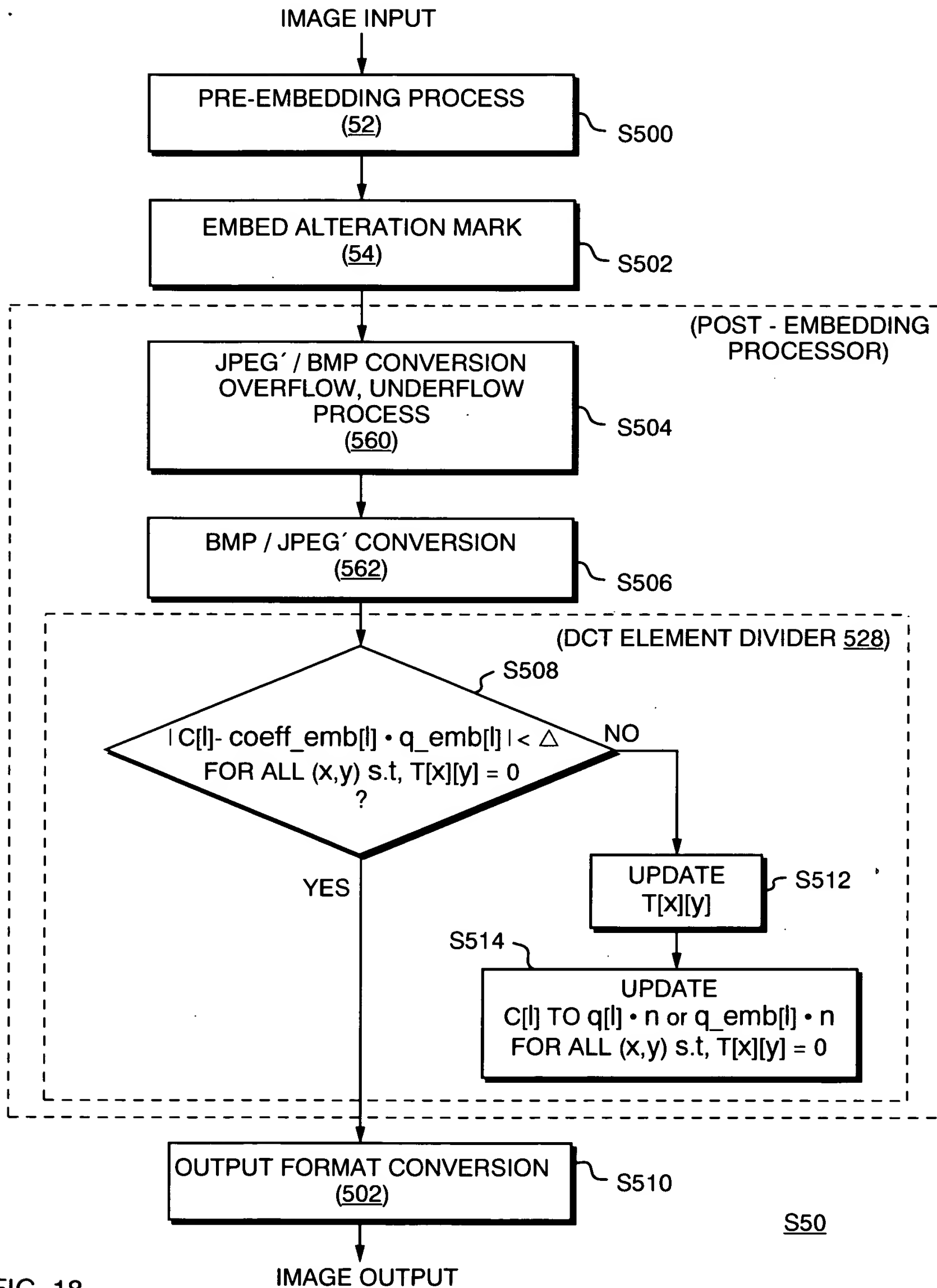


FIG. 17

18/19  
JP9-1999-0240



19/19  
JP9-1999-0240

